

1 Comportamiento de Amplificador Operacional Inversor

A lo largo de esta seccion se procedera a analizar el comportamiento ideal y real del amplificador operacional *LM324* conectado como se muestra en la figura 1. Considerando los valores de los componentes como se puede ver en la tabla 1.

Caso	$R_1 = R_3$	R_2	R_4
1	10 ($k\Omega$)	100 ($k\Omega$)	40 ($k\Omega$)
2	10 ($k\Omega$)	10 ($k\Omega$)	40 ($k\Omega$)
3	100 ($k\Omega$)	10 ($k\Omega$)	400 ($k\Omega$)

Table 1: Valores de los componentes

1.1 Transferencia

Comenzando por el analisis ideal, se pidió calcular y graficar la relación $\frac{V_{out}}{V_{in}}$, esto quiere decir, considerando a_0 finito y $A(\omega)$ con polo dominante. Considerando las siguientes ecuaciones descriptas a continuacion y operando correctamente, se llega a que la relacion $\frac{V_{out}}{V_{in}}$ esta dada por la ecuación (1).

$$\left\{ \begin{array}{l} V_{out} = -A(\omega)v^- \\ I = i_3 + i_1 \\ i_1 = -i_2 \\ v^- = i_3 R_3 \\ V_{in} - IR_1 = v^- \end{array} \right.$$

$$H(s) = \frac{V_{out}}{V_{int}} = \frac{\frac{a_0 R_3 R_2}{R_1 R_2 + 2 R_3 R_1 - R_3 R_2}}{1 + \frac{s}{\omega_p \left(\frac{R_1 R_2 + 2 R_3 R_1 - R_3 R_2}{R_1 R_2 + R_3 R_1 - R_3 R_2} \right)}} \quad (1)$$

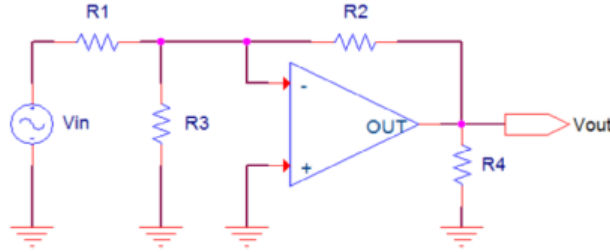


Figure 1: Circuito a analizar

Como podemos ver, tenemos un polo en nuestra transferencia por lo cual, el circuito se deberia comportar a grandes rasgos como un pasabajos. Es importante notar, que el valor de R_4 no afecta a la transferencia del circuito. Si graficamos la transferencia de el circuito para los distintos casos, podemos ver que, en efecto, se comporta como un pasabajos, con diferente frecuencia de corte f_0 , esto se puede ver en la figura 2.

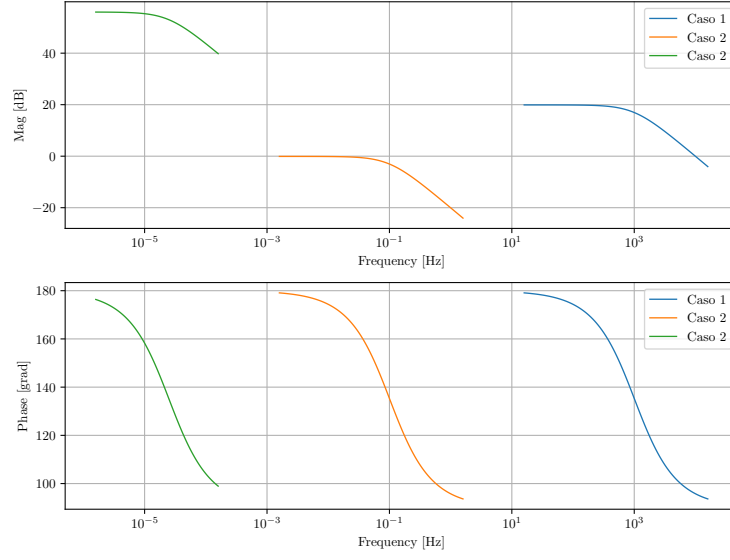


Figure 2: Comportamiento del circuito para los diferentes valores de impedancias
CHEQUEARR SI STO ESTA BIENN

1.2 Impedancia de entrada

Consecuentemente, se nos instó a calcular la impedancia de entrada vista por el generador hacia nuestro circuito. Nuevamente, utilizando las ecuaciones descritas en la previa subseccion, y operando adecuadamente, llegamos a que la impedancia de entrada es la descrita en la ecuación (2).

$$K = \frac{R_2 a_0 \omega_p (R_3 + R_1) - \omega_p (a_0 - 1) (R_2 R_3 + R_1 R_2 + R_1 R_3)}{R_2 a_0 \omega_p - (R_2 + R_3) \omega_p (a_0 - 1)}$$

$$C = \frac{\omega_p (a_0 - 1) (R_2 R_3 + R_1 R_2 + R_1 R_3) - R_2 a_0 \omega_p (R_3 + R_1)}{(R_2 R_3 + R_1 R_2 + R_1 R_3)}$$

$$L = \frac{(R_2 + R_3) \omega_p (a_0 - 1) - R_2 a_0 \omega_p}{R_2 + R_3}$$

$$\Rightarrow Z_{in} = K \frac{1 + \frac{s}{C}}{1 + \frac{s}{L}} \quad (2)$$

Graficando la impedancia de entrada con respecto a la frecuencia de entrada, se puede ver en la figura 3, como va variando dependiendo de la frecuencia, es decir, no permanece constante. Nuevamente, podemos observar como esta impedancia no es afectada por R_4 .

Figure 3: Impedancia de entrada